

SEL0401 – Eletrônica de Potência

26 de junho de 2018

1 Retificador monofásico de um caminho

Para as Tabelas 1, 2 e 3: $I_{BASE} = \frac{\sqrt{2}V}{|Z|}$

2 Controlador CA Trifásico em Estrela

Figuras 1 e 2.

3 Retificadores: Tensões médias na carga

Tensão média retificador bifásico de um caminho: $V_O = 0.9V \cos \alpha$

Tensão média retificador trifásico de um caminho: $V_O = 1,17V \cos \alpha$

Tensão média retificador hexafásico de um caminho: $V_O = 1,35V \cos \alpha$

4 Choppers

Chopper de um quadrante:

$$t_x = \tau \ln \left(1 + \frac{V - V_C}{V_C} (1 - e^{-t_{ON}/\tau}) \right) + t_{ON} \quad t_{ON}^x = \tau \ln (m(e^{T/\tau} - 1) + 1) \quad (1)$$

Correntes máximas e mínimas (1° e 2°):

$$I_{MAX} = \frac{V}{R} \frac{1 - e^{-t_{ON}/\tau}}{1 - e^{-T/\tau}} - \frac{V_C}{R} \quad I_{MIN} = \frac{V}{R} \frac{1 - e^{t_{ON}/\tau}}{1 - e^{T/\tau}} - \frac{V_C}{R} \quad (2)$$

Corrente média na fonte V :

$$I = \frac{\tau}{T} \left(I_{MIN} - \frac{V - V_C}{R} \right) \left(1 - e^{-t_{ON}/\tau} \right) + \frac{t_{ON}}{T} \frac{V - V_C}{R} \quad (3)$$

Série de Fourier, condução descontínua:

$$V_o = \delta V + \left(1 - \frac{t_x}{T} \right) V_c \quad a_n = \frac{V}{n\pi} (1 - \cos n\omega t_{on}) - \frac{V_c}{n\pi} (1 - \cos n\omega t_x) \quad b_n = \frac{V}{n\pi} \sin n\omega t_{on} - \frac{V_c}{n\pi} \sin n\omega t_x$$

Condução contínua: $c_n = \frac{\sqrt{2}V}{n\pi} \sqrt{1 - \cos n\omega t_{on}}$

5 Inversores

Séries de Fourier:

Onda quadrada: $v_O(\omega t) = \sum_{n=1,3,5,\dots}^{\infty} \frac{4A}{n\pi} \sin n\omega t$

Modulação em largura de pulso simples: $v_O(\omega t) = \sum_{n=1,3,5,\dots}^{\infty} \frac{4A}{n\pi} \sin \frac{n\delta}{2} \cos n\omega t$

Tabela 1: Ângulo de corte (β) como função do ângulo de disparo (α), com o ângulo da carga (ϕ_1) como parâmetro, para o retificador monofásico controlado de um caminho com carga RL.

α	ϕ					α	ϕ				
	15°	30°	45°	60°	75°		15°	30°	45°	60°	75°
0	195.0	210.1	225.8	244.2	270.8	90	194.9	208.6	220.9	233.2	247.9
2	195.0	210.1	225.8	244.2	270.8	92	194.9	208.5	220.6	232.6	246.9
4	195.0	210.1	225.8	244.2	270.8	94	194.9	208.4	220.2	232.0	245.8
6	195.0	210.1	225.8	244.2	270.7	96	194.9	208.2	219.9	231.4	244.7
8	195.0	210.0	225.8	244.2	270.6	98	194.9	208.1	219.5	230.7	243.6
10	195.0	210.0	225.8	244.2	270.5	100	194.9	207.9	219.1	230.0	242.5
12	195.0	210.0	225.8	244.1	270.4	102	194.9	207.8	218.7	229.3	241.3
14	195.0	210.0	225.7	244.1	270.3	104	194.8	207.6	218.3	228.6	240.1
16	195.0	210.0	225.7	244.0	270.1	106	194.8	207.4	217.9	227.8	238.9
18	195.0	210.0	225.7	243.9	270.0	108	194.8	207.2	217.4	227.1	237.7
20	195.0	210.0	225.7	243.9	269.8	110	194.8	207.0	216.9	226.3	236.5
22	195.0	210.0	225.6	243.8	269.5	112	194.7	206.8	216.5	225.5	235.2
24	195.0	210.0	225.6	243.7	269.3	114	194.7	206.5	215.9	224.6	234.0
26	195.0	210.0	225.6	243.6	269.0	116	194.7	206.3	215.4	223.7	232.7
28	195.0	210.0	225.5	243.5	268.7	118	194.6	206.0	214.8	222.9	231.3
30	195.0	210.0	225.5	243.3	268.4	120	194.6	205.7	214.3	221.9	230.0
32	195.0	210.0	225.4	243.2	268.1	122	194.5	205.4	213.7	221.0	228.6
34	195.0	210.0	225.4	243.1	267.7	124	194.5	205.1	213.0	220.0	227.2
36	195.0	210.0	225.3	242.9	267.3	126	194.4	204.7	212.4	219.0	225.8
38	195.0	210.0	225.3	242.7	266.9	128	194.3	204.4	211.7	218.0	224.4
40	195.0	209.9	225.2	242.6	266.5	130	194.2	204.0	211.0	217.0	223.0
42	195.0	209.9	225.1	242.4	266.0	132	194.1	203.5	210.2	215.9	221.5
44	195.0	209.9	225.0	242.1	265.5	134	194.0	203.1	209.5	214.8	220.0
46	195.0	209.9	225.0	241.9	265.0	136	193.9	202.6	208.7	213.7	218.5
48	195.0	209.9	224.9	241.7	264.5	138	193.7	202.1	207.8	212.5	217.0
50	195.0	209.8	224.8	241.4	263.9	140	193.6	201.6	207.0	211.3	215.4
52	195.0	209.8	224.7	241.2	263.4	142	193.4	201.1	206.1	210.1	213.9
54	195.0	209.8	224.5	240.9	262.8	144	193.2	200.5	205.1	208.8	212.3
56	195.0	209.8	224.4	240.6	262.1	146	193.0	199.8	204.2	207.6	210.7
58	195.0	209.7	224.3	240.3	261.5	148	192.7	199.2	203.2	206.2	209.0
60	195.0	209.7	224.2	240.0	260.8	150	192.5	198.5	202.1	204.9	207.4
62	195.0	209.7	224.0	239.7	260.1	152	192.1	197.7	201.0	203.5	205.7
64	195.0	209.6	223.9	239.3	259.4	154	191.8	196.9	199.9	202.1	204.0
66	195.0	209.6	223.7	239.0	258.6	156	191.4	196.1	198.7	200.6	202.3
68	195.0	209.5	223.5	238.6	257.9	158	191.0	195.2	197.5	199.1	200.6
70	195.0	209.5	223.3	238.2	257.1	160	190.5	194.2	196.2	197.6	198.8
72	195.0	209.4	223.1	237.8	256.3	162	189.9	193.2	194.9	196.1	197.0
74	195.0	209.3	222.9	237.3	255.4	164	189.3	192.1	193.5	194.4	195.2
76	195.0	209.3	222.7	236.9	254.6	166	188.6	190.9	192.0	192.8	193.4
78	195.0	209.2	222.5	236.4	253.7	168	187.8	189.7	190.5	191.1	191.6
80	195.0	209.1	222.3	235.9	252.8	170	186.9	188.3	189.0	189.4	189.7
82	195.0	209.0	222.0	235.4	251.8	172	185.9	186.9	187.3	187.6	187.8
84	195.0	208.9	221.7	234.9	250.9	174	184.8	185.4	185.6	185.8	185.9
86	195.0	208.8	221.5	234.4	249.9	176	183.4	183.7	183.8	183.9	184.0
88	195.0	208.7	221.2	233.8	248.9	178	181.8	181.9	182.0	182.0	182.0

Tabela 2: Corrente média normalizada como função do ângulo de disparo (α), com o ângulo da carga (ϕ_1) como parâmetro, para o retificador monofásico controlado de um caminho com carga RL.

α	ϕ						
	0°	15°	30°	45°	60°	75°	90°
0	0.318	0.324	0.343	0.382	0.457	0.606	1.000
2	0.318	0.324	0.343	0.382	0.456	0.606	0.999
4	0.318	0.324	0.342	0.381	0.456	0.605	0.998
6	0.317	0.323	0.342	0.381	0.455	0.604	0.995
8	0.317	0.322	0.341	0.380	0.454	0.602	0.991
10	0.316	0.321	0.340	0.379	0.452	0.600	0.985
12	0.315	0.320	0.339	0.377	0.450	0.597	0.979
14	0.314	0.319	0.337	0.375	0.448	0.593	0.972
16	0.312	0.318	0.336	0.374	0.445	0.590	0.964
18	0.311	0.316	0.334	0.371	0.443	0.585	0.954
20	0.309	0.314	0.332	0.369	0.439	0.580	0.944
22	0.307	0.312	0.330	0.366	0.436	0.575	0.933
24	0.305	0.310	0.327	0.363	0.432	0.569	0.921
26	0.302	0.307	0.324	0.360	0.428	0.563	0.909
28	0.300	0.305	0.321	0.356	0.423	0.557	0.895
30	0.297	0.302	0.318	0.353	0.418	0.550	0.881
32	0.294	0.299	0.315	0.349	0.413	0.542	0.866
34	0.291	0.296	0.312	0.345	0.408	0.534	0.850
36	0.288	0.292	0.308	0.340	0.403	0.526	0.834
38	0.285	0.289	0.304	0.336	0.397	0.518	0.818
40	0.281	0.285	0.300	0.331	0.391	0.509	0.800
42	0.277	0.282	0.296	0.326	0.384	0.500	0.783
44	0.274	0.278	0.291	0.321	0.378	0.490	0.765
46	0.270	0.274	0.287	0.316	0.371	0.480	0.746
48	0.266	0.269	0.282	0.310	0.364	0.470	0.727
50	0.261	0.265	0.278	0.304	0.357	0.460	0.708
52	0.257	0.261	0.273	0.299	0.349	0.450	0.689
54	0.253	0.256	0.268	0.293	0.342	0.439	0.669
56	0.248	0.251	0.262	0.287	0.334	0.428	0.649
58	0.243	0.246	0.257	0.280	0.326	0.417	0.629
60	0.239	0.242	0.252	0.274	0.318	0.406	0.609
62	0.234	0.237	0.246	0.268	0.310	0.394	0.589
64	0.229	0.231	0.240	0.261	0.302	0.383	0.569
66	0.224	0.226	0.235	0.254	0.294	0.371	0.548
68	0.219	0.221	0.229	0.248	0.285	0.360	0.528
70	0.214	0.216	0.223	0.241	0.277	0.348	0.508
72	0.208	0.210	0.217	0.234	0.268	0.336	0.488
74	0.203	0.205	0.211	0.227	0.260	0.324	0.468
76	0.198	0.199	0.205	0.220	0.251	0.312	0.449
78	0.192	0.193	0.199	0.213	0.242	0.301	0.429
80	0.187	0.188	0.192	0.206	0.234	0.289	0.410
82	0.181	0.182	0.186	0.199	0.225	0.277	0.391
84	0.176	0.176	0.180	0.191	0.216	0.266	0.372
86	0.170	0.171	0.174	0.184	0.208	0.254	0.354
88	0.165	0.165	0.168	0.177	0.199	0.243	0.336
90	0.159	0.159	0.161	0.171	0.191	0.221	0.299
92	0.154	0.154	0.156	0.167	0.187	0.217	0.278
94	0.148	0.148	0.149	0.159	0.179	0.209	0.268
96	0.143	0.143	0.144	0.154	0.174	0.204	0.263
98	0.137	0.137	0.138	0.148	0.168	0.198	0.252
100	0.132	0.132	0.133	0.143	0.163	0.193	0.247
102	0.127	0.127	0.128	0.138	0.158	0.188	0.237
104	0.122	0.122	0.123	0.133	0.153	0.183	0.227
106	0.117	0.117	0.118	0.128	0.148	0.178	0.217
108	0.112	0.112	0.113	0.123	0.143	0.173	0.207
110	0.107	0.107	0.108	0.118	0.138	0.168	0.197
112	0.102	0.102	0.103	0.113	0.133	0.163	0.192
114	0.097	0.097	0.098	0.108	0.128	0.158	0.187
116	0.092	0.092	0.093	0.103	0.123	0.153	0.182
118	0.087	0.087	0.088	0.098	0.118	0.148	0.177
120	0.082	0.082	0.083	0.093	0.113	0.143	0.172
122	0.077	0.077	0.078	0.088	0.108	0.138	0.167
124	0.072	0.072	0.073	0.083	0.103	0.133	0.162
126	0.067	0.067	0.068	0.078	0.098	0.128	0.157
128	0.062	0.062	0.063	0.073	0.093	0.123	0.152
130	0.057	0.057	0.058	0.068	0.088	0.118	0.147
132	0.052	0.052	0.053	0.063	0.083	0.113	0.142
134	0.047	0.047	0.048	0.058	0.078	0.108	0.137
136	0.042	0.042	0.043	0.053	0.073	0.103	0.132
138	0.037	0.037	0.038	0.048	0.068	0.098	0.127
140	0.032	0.032	0.033	0.043	0.063	0.093	0.122
142	0.027	0.027	0.028	0.038	0.058	0.088	0.117
144	0.022	0.022	0.023	0.033	0.053	0.083	0.112
146	0.017	0.017	0.018	0.028	0.048	0.078	0.107
148	0.012	0.012	0.013	0.023	0.043	0.073	0.102
150	0.007	0.007	0.008	0.018	0.038	0.068	0.097
152	0.002	0.002	0.003	0.013	0.033	0.063	0.092
154	-0.001	-0.001	-0.002	-0.012	-0.032	-0.062	-0.091
156	-0.006	-0.006	-0.007	-0.017	-0.037	-0.067	-0.096
158	-0.011	-0.011	-0.012	-0.022	-0.042	-0.072	-0.095
160	-0.016	-0.016	-0.017	-0.027	-0.047	-0.077	-0.098
162	-0.021	-0.021	-0.022	-0.032	-0.052	-0.082	-0.103
164	-0.026	-0.026	-0.027	-0.037	-0.057	-0.087	-0.108
166	-0.031	-0.031	-0.032	-0.042	-0.062	-0.092	-0.113
168	-0.036	-0.036	-0.037	-0.047	-0.067	-0.097	-0.118
170	-0.041	-0.041	-0.042	-0.052	-0.072	-0.102	-0.123
172	-0.046	-0.046	-0.047	-0.057	-0.077	-0.107	-0.128
174	-0.051	-0.051	-0.052	-0.062	-0.082	-0.112	-0.133
176	-0.056	-0.056	-0.057	-0.067	-0.087	-0.117	-0.138
178	-0.061	-0.061	-0.062	-0.072	-0.092	-0.122	-0.143

Tabela 3: Corrente eficaz normalizada como função do ângulo de disparo (α), com o ângulo da carga (ϕ_1) como parâmetro, para o retificador monofásico controlado de um caminho com carga RL.

α	ϕ						
	0°	15°	30°	45°	60°	75°	90°
0	0.500	0.502	0.518	0.561	0.648	0.821	1.225
2	0.500	0.502	0.518	0.561	0.648	0.821	1.224
4	0.500	0.502	0.518	0.561	0.647	0.820	1.223
6	0.500	0.502	0.518	0.560	0.647	0.819	1.220
8	0.500	0.502	0.517	0.559	0.646	0.817	1.217
10	0.500	0.501	0.517	0.559	0.644	0.815	1.212
12	0.500	0.501	0.516	0.557	0.643	0.812	1.207
14	0.499	0.500	0.515	0.556	0.641	0.809	1.201
16	0.499	0.500	0.514	0.554	0.638	0.805	1.193
18	0.498	0.499	0.513	0.552	0.635	0.801	1.185
20	0.498	0.498	0.511	0.550	0.632	0.796	1.176
22	0.497	0.496	0.509	0.548	0.629	0.791	1.166
24	0.496	0.495	0.507	0.545	0.625	0.786	1.155
26	0.495	0.493	0.505	0.542	0.621	0.779	1.143
28	0.494	0.492	0.503	0.539	0.617	0.773	1.131
30	0.493	0.490	0.500	0.536	0.612	0.765	1.117
32	0.491	0.488	0.497	0.532	0.607	0.758	1.103
34	0.490	0.485	0.494	0.528	0.601	0.750	1.088
36	0.488	0.483	0.491	0.523	0.595	0.741	1.073
38	0.486	0.480	0.487	0.519	0.589	0.732	1.056
40	0.483	0.477	0.483	0.514	0.583	0.722	1.039
42	0.481	0.473	0.479	0.508	0.576	0.713	1.022
44	0.478	0.470	0.474	0.503	0.569	0.702	1.004
46	0.475	0.466	0.470	0.497	0.561	0.691	0.985
48	0.472	0.462	0.465	0.491	0.553	0.680	0.966
50	0.469	0.458	0.460	0.485	0.545	0.669	0.946
52	0.465	0.453	0.454	0.478	0.537	0.657	0.926
54	0.461	0.449	0.447	0.471	0.528	0.645	0.905
56	0.457	0.444	0.443	0.464	0.519	0.632	0.884
58	0.453	0.438	0.436	0.457	0.510	0.619	0.862
60	0.448	0.433	0.430	0.449	0.500	0.606	0.841
62	0.444	0.427	0.423	0.441	0.490	0.593	0.819
64	0.439	0.421	0.417	0.433	0.480	0.579	0.796
66	0.433	0.415	0.409	0.425	0.470	0.565	0.774
68	0.428	0.409	0.402	0.416	0.459	0.551	0.751
70	0.422	0.402	0.395	0.407	0.449	0.537	0.728
72	0.416	0.396	0.387</td				

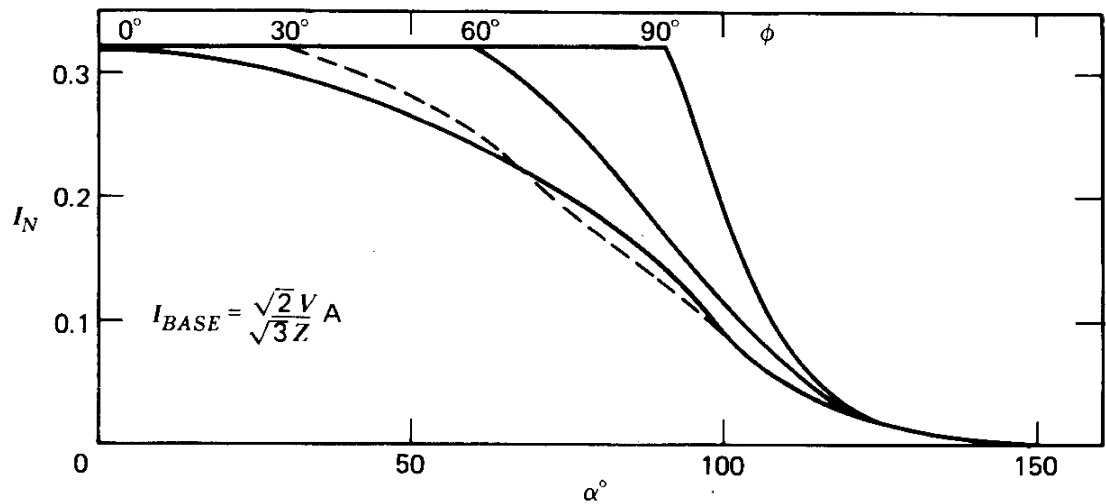


Figura 1: Corrente média normalizada por tiristor de um controlador CA trifásico em estrela.

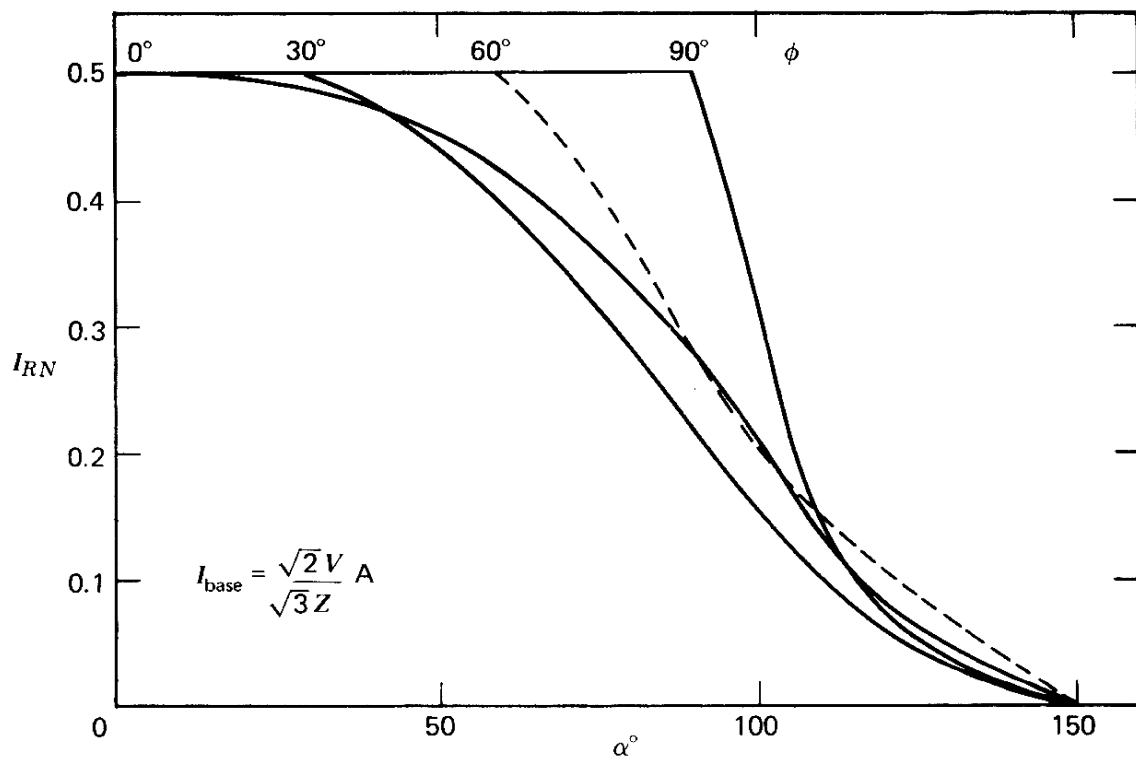


Figura 2: Corrente eficaz normalizada por tiristor de um controlador CA trifásico em estrela.